



# GAMES 301: 曲面参数化 作业报告

GAMES 301: Surface Parameterization Homework Report

作者: Mason Wu

组织: Infinite Heaven

版本: 0.02

Mason Wu: Simplicity ≠ Mediocrity.



ElegantLATEX Program

# 目录

<b>第 1 章 Tutte's Parameterization</b>	<b>1</b>
1.1 摘要 . . . . .	1
1.2 引言 . . . . .	1
1.3 表面参数化方法 . . . . .	1
1.3.1 图的定义及相关概念 . . . . .	1
1.3.2 曲面参数化 . . . . .	2
1.4 实验结果 . . . . .	4
1.4.1 三角形曲面的平面嵌入 . . . . .	5
1.4.2 纹理映射 . . . . .	7
1.5 总结 . . . . .	8
<b>附录 A 代码修改说明</b>	<b>9</b>
A.1 对原有文件的修改 . . . . .	9
A.2 新增文件 . . . . .	14
A.3 错误更正 . . . . .	20

# 第 1 章 Tutte's Parameterization

## 1.1 摘要

曲面参数化技术在模型贴图、曲面纹理展开等方向有重要应用。本次作业将实现 Tutte[1, 2] 提出的“barycentric mapping”（重心映射）图绘制方法和 Floater[3] 提出的“shape preserving”（保形）曲面参数化方法，并基于四组三角形曲面模型测试对应算法的表面参数化效果。

## 1.2 引言

现有的曲面参数化方法纷繁复杂。本实验报告实现的两组方法（Tutte Barycentric Mapping 和 Floater's Weight Parameterization）将帮助我们理解在上世纪 60 年代至 90 年代，众多学者在表面参数化方向的研究成果。

## 1.3 表面参数化方法

### 1.3.1 图的定义及相关概念

在此之前，我们需要给出图的定义：

#### 定义 1.1 (图)

一个图结构可以表示为  $G = G(V, E)$ ，其中  $V = \{x_1, x_2, \dots, x_N\}$  是顶点集合， $E = \{(x_i, x_j) \mid x_i \text{ 和 } x_j \text{ 之间存在边}, i \neq j\}$  是边集合。



此外，我们可以给出部分基于图的定义 [4]：

#### 定义 1.2

1.  $x_j$  是  $x_i$  的邻居当且仅当存在边  $(x_i, x_j) \in E$ 。
2.  $x_i$  的度  $d_i$  指  $x_i$  的不同的邻居数量。
3. 如果图  $H$  的顶点集合和边集合分别是图  $G$  的顶点集合和边集合的子集，则称图  $H$  是图  $G$  的子图。
4. 如果图  $G$  可以嵌入一个平面，且
  - (a) 每个顶点  $x_i \in V$  可以映射到  $P_i \in \mathbb{R}^2$ ，
  - (b) 每条边  $(x_i, x_j) \in E$  映射到一条以  $P_i$  和  $P_j$  为端点的曲线上，
  - (c) 曲线之间只在公共端点处相交；

那么称图  $G$  是平面图。



我们可以描述三角形表面如下：

#### 定义 1.3

一个平面三角化指简单联通的三角平面图，它的边是直线。



令  $F$  表示面集合，则有

#### 定义 1.4

一个三角形曲面  $S = S(G, X)$  是指一个简单联通三角化平面图  $G(V, E, F)$ ,  $V = \{x_1, x_2, \dots, x_N\}$  在  $\mathbb{R}^3$  的嵌入。它的顶点集合为  $X = \{\mathbf{x}_i | \mathbf{x}_i \in \mathbb{R}^3\}$ , 边集合为直线, 面为三角形面。



### 1.3.2 曲面参数化

曲面参数化方法是找到从三维曲面到二维区域的映射。对于三角形曲面，参数化方法是找到映射：

$$f : \mathbf{x}_i = (x_i, y_i, z_i)^T \mapsto P_i = (u_i, v_i).$$

令  $S(G, X)$ ,  $G = G(V, E, F)$  是一个三角化曲面, 且顶点集合  $X = \{\mathbf{x}_i = (x_i, y_i, z_i)\}_{i=1}^N$ 。对顶点  $\mathbf{x}_i$  重新编号, 使得  $\mathbf{x}_1, \mathbf{x}_2, \dots, \mathbf{x}_n$  是满足任意逆时针方向的边界点, 而  $\mathbf{x}_{n+1}, \mathbf{x}_{n+2}, \dots, \mathbf{x}_N$  是内部点。令  $K = N - n$ , 考虑如下的过程:

1. 选择  $P_1, P_2, \dots, P_n$  作为边数为  $K$  的凸多边形  $D \in \mathbb{R}^2$  的顶点, 排列满足逆时针顺序。
2. 对于  $x_i \in V$ ,  $i \in \{n + 1, n + 2, \dots, N\}$ , 选择  $\lambda_{i,j}$  满足

$$\begin{cases} \lambda_{i,j} = 0, & (i, j) \notin E, \\ \lambda_{i,j} > 0, & (i, j) \in E, \end{cases} \quad \text{且} \quad \sum_{j=1}^N \lambda_{i,j} = 1. \quad (1.1)$$

定义  $P_{n+1}, P_{n+2}, \dots, P_N$  是线性方程组的解:

$$P_i = \sum_{j=1}^N \lambda_{i,j} P_j, \quad i = n + 1, n + 2, \dots, N. \quad (1.2)$$

令  $\mathcal{P} = \mathcal{P}(G, U_b, \Lambda)$ ,  $U_b = \{P_1, P_2, \dots, P_n\}$ , 并且  $\Lambda = (\lambda_{i,j})_{i=n+1, \dots, N, j=1, \dots, N}$  作为  $G(V, E, F)$  在  $\mathbb{R}^2$  的顶点  $P_{n+1}, P_{n+2}, \dots, P_N$  中的嵌入, 且满足边是直线, 面是三角形。

对于上述描述的过程, 我们有如下的结论:

#### 定理 1.1 (Tutte [2])

对于方程 1.2, 当对于所有的边  $(x_i, x_j) \in E$  选取  $\lambda_{i,j} = 1/d_i$  时存在唯一解。



#### 定理 1.2 (Floater [3])

令  $G_i$  是  $G$  中包含结点  $x_i$  及其所有邻居结点和邻接关系的子图,  $\mathbf{x}_{j_1}, \mathbf{x}_{j_2}, \dots, \mathbf{x}_{j_{d_i}}$  是满足逆时针顺序的邻接结点, 那么在公式 1.1 的选取方式下, 矩阵

$$\mathbf{A} = \begin{bmatrix} j & 1 & \cdots & n & n+1 & \cdots & N \\ P_1 & 1 & \cdots & 0 & 0 & \cdots & 0 \\ \vdots & \ddots & \vdots & \vdots & \ddots & \ddots & \vdots \\ P_n & 0 & \cdots & 1 & 0 & \cdots & 0 \\ P_{n+1} & \cdots & -\lambda_{n+1,j_p} & \cdots & 1 & -\lambda_{n+1,j_q} & \cdots \\ \vdots & \ddots & \ddots & \ddots & \ddots & \ddots & \cdots \\ P_N & \cdots & -\lambda_{N,j_p} & \cdots & -\lambda_{N,j_q} & \cdots & 1 \end{bmatrix} \quad (1.3)$$

是非奇异的。



于是根据矩阵 1.2 及方程 1.3 可以得到我们要求解的方程  $Ax = b$ , 即

$$\begin{array}{ccccccccc} j & 1 & \cdots & n & n+1 & \cdots & N & u & v \\ P_1 & \left[ \begin{array}{cccccc} 1 & \cdots & 0 & 0 & \cdots & 0 \end{array} \right] & \left[ \begin{array}{cc} x_0 & y_0 \\ \vdots & \vdots \\ x_n & y_n \\ x_{n+1} & y_{n+1} \\ \vdots & \vdots \\ x_N & y_N \end{array} \right] & = & \left[ \begin{array}{cc} x & y \\ P_1.x & P_1.y \\ \vdots & \vdots \\ P_n.x & P_n.y \\ 0 & 0 \\ \vdots & \vdots \\ 0 & 0 \end{array} \right]. \end{array} \quad (1.4)$$

其中  $P_1, \dots, P_n$  是边界点在  $\mathbb{R}^2$  上的坐标, 本报告中  $P_i \in [0, 1]^2$ ,  $i \in \{1, 2, \dots, n\}$ 。

基于上述的流程, Tutte 和 Floater 的曲面参数化方法均满足框架 1

---

**Algorithm 1:** Tutte Embedding 算法流程

---

**Data:** 三角化曲面  $S(G, X)$ ,  $G = G(V, E, F)$ ,  $X = \{\mathbf{x}_i = (x_i, y_i, z_i)\}_{i=1}^N$

**Output:**  $\mathcal{P} = \mathcal{P}(G, U_b, \Lambda)$ ,  $U_b = \{P_1, P_2, \dots, P_n\}$  并且  $\Lambda = (\lambda_{i,j})_{i=n+1, \dots, N, j=1, \dots, N}$

1 计算  $S$  的边界  $\partial G$ , 根据结果对结点重新编号;

2 将正  $n$  边形的顶点坐标赋予  $b_{N \times 2} = [P_1, P_2, \dots, P_n, 0, \dots, 0]^T$ ;

3 **for**  $k = n + 1$  **to**  $N$  **do**

4   | 基于 Tutte 或者 Floater 的方法计算  $\lambda_{k,j_l}$ ,  $l \in \{1, 2, \dots, d_k\}$ ;

5 **end**

6 根据公式 1.3 计算  $A$  并求解方程 1.4 得到  $x_{N \times 2} = [P_1, P_2, \dots, P_n, P_{n+1}, \dots, P_N]^T$ ;

7 输出  $\mathcal{P} = \mathcal{P}(G, U_b, \Lambda)$ ;

---

算法 1 的第 3 行代码中, 计算  $\lambda_{i,j_k}$  的步骤是 Tutte 方法和 Floater 方法的不同之处, 我们分别称之为“Tutte 权重”(averaged) 和“Floater 权重”(shape-preserved)。Tutte 权重的选择方法是  $\lambda_{i,j_k} = 1/d_i$ , 而 Floater [3] 权重的计算方法可以总结如算法 2.

**Algorithm 2:** Floater 权重计算

---

**Data:** 顶点  $\mathbf{x}_i$  及邻居结点  $X_i = \{\mathbf{x}_{j_1}, \mathbf{x}_{j_2}, \dots, \mathbf{x}_{j_{d_i}}\}$ .

**Result:**  $\mathbf{x}_{j_l}$  对于  $\mathbf{x}_i$  的权重  $\{\lambda_{i,j_1}, \lambda_{i,j_2}, \dots, \lambda_{i,j_{d_i}}\}$ .

1 初始化  $P = (0, 0)$ ,  $P_1 = (\|\mathbf{x}_{j_1} - \mathbf{x}_i\|, 0)$ , 并计算  $\theta_i = \sum_{k=1}^{d_i} \text{ang}(\mathbf{x}_{j_k}, \mathbf{x}_i, \mathbf{x}_{j_{k+1}})$ ;

2 **for**  $k = 2$  to  $d_i$  **do**

3   令  $\text{ang}(\mathbf{x}_i, \mathbf{x}_0, \mathbf{x}_k) = \langle \overrightarrow{\mathbf{x}_0 \mathbf{x}_i}, \overrightarrow{\mathbf{x}_0 \mathbf{x}_k} \rangle$ ,  $P_k$  满足

$$\begin{cases} \|P_k - P\| = \|\mathbf{x}_{j_k} - \mathbf{x}_i\|, \\ \text{ang}(P_{k-1}, P, P_k) = \frac{2\pi}{\theta_i} \text{ang}(\mathbf{x}_{j_{k-1}}, \mathbf{x}_i, \mathbf{x}_{j_k}). \end{cases}$$

  令  $\varphi_{k+1} = \text{ang}(P_k, P, P_{k+1})$ ,  $\psi_{k+1} = \text{ang}(\mathbf{x}_k, \mathbf{x}_i, \mathbf{x}_{k+1})$ . 计算  $P_{k+1}$  如下:

$$\begin{bmatrix} P_{k+1}.x \\ P_{k+1}.y \end{bmatrix} = \begin{bmatrix} s_{k+1} & 0 \\ 0 & s_{k+1} \end{bmatrix} \begin{bmatrix} \cos \varphi_{k+1} & -\sin \varphi_{k+1} \\ \sin \varphi_{k+1} & \cos \varphi_{k+1} \end{bmatrix} \begin{bmatrix} P_k.x \\ P_k.y \end{bmatrix}$$

  其中

$$s_{k+1} = \frac{\|\mathbf{x}_{j_{k+1}} - \mathbf{x}_i\|}{\|\mathbf{x}_{j_k} - \mathbf{x}_i\|} \quad \text{并且} \quad \varphi_{k+1} = \frac{2\pi}{\theta_i} \psi_{k+1}.$$

4 **end**

5 **for**  $l = 1$  to  $d_i$  **do**

6   计算  $P_{r(l)}$  和  $P_{r(l)+1}$ , 其中  $P \in \triangle P_l P_{r(l)} P_{r(l)+1}$  并且直线  $PP_l$  与线段  $P_{r(l)}P_{r(l)+1}$  相交;

7   求解  $P = \delta_1 P_l + \delta_2 P_{r(l)} + \delta_3 P_{r(l)+1}$  如下:

$$\begin{bmatrix} P_l.x & P_{r(l)}.x & P_{r(l)+1}.x \\ P_l.y & P_{r(l)}.y & P_{r(l)+1}.y \\ 1 & 1 & 1 \end{bmatrix} \begin{bmatrix} \delta_1 \\ \delta_2 \\ \delta_3 \end{bmatrix} = \begin{bmatrix} 0 \\ 0 \\ 1 \end{bmatrix}$$

  各自将  $\mu_{l,l} = \delta_1$ ,  $\mu_{r(l),l} = \delta_2$  和  $\mu_{r(l)+1,l} = \delta_3$  加到顶点  $P_l$ ,  $P_{r(l)}$  和  $P_{r(l)+1}$  的权重上;

8   计算

$$\lambda_{i,j_k} = \frac{1}{d_i} \sum_{l=1}^{d_i} \mu_{k,l}, \quad k = 1, \dots, d.$$

  输出  $\{\lambda_{i,j_1}, \lambda_{i,j_2}, \dots, \lambda_{i,j_{d_i}}\}$ ;

9 **end**

---

## 1.4 实验结果

我们将采用三组数据进行测试, 如表 1.1。对应的模型绘制结果如图 1.1。

名称	格式	面类型	V	E	F	边界数	存储
cathead	OBJ	三角面	131	378	248	1	8KB
Balls	OBJ	三角面	547	1578	1032	1	26KB
hand	OFF	三角面	1558	4653	3096	1	97KB

表 1.1: 测试数据

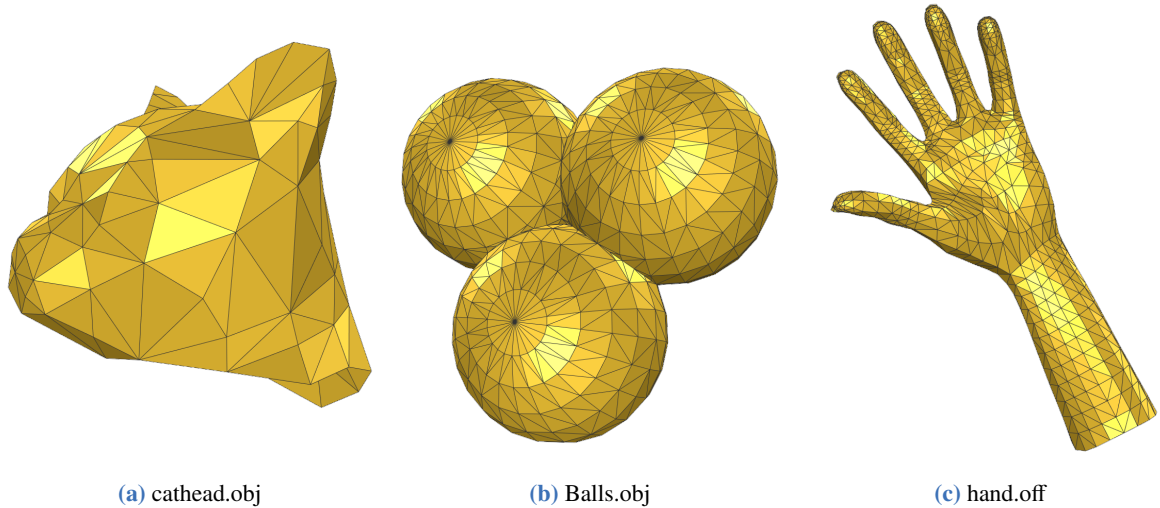


图 1.1: 测试数据渲染图 (扁平着色)

### 1.4.1 三角形曲面的平面嵌入

此章节添加了不同多边形边界的参数化实验，包括与选取的边界边数相同的正多边形（图 1.2）、三角形（图 1.3）、正方形（图 1.4）和正五边形（图 1.5）。需要注意的是，多边形的边数不会超过被选取的三角形曲面边界的边数。从图 1.2~图 1.5 的结果可以看出，基于 Tutte Embedding（算法 1）得到的参数化结果都呈现出“与边界点距离越远的顶点越集中”的趋势。

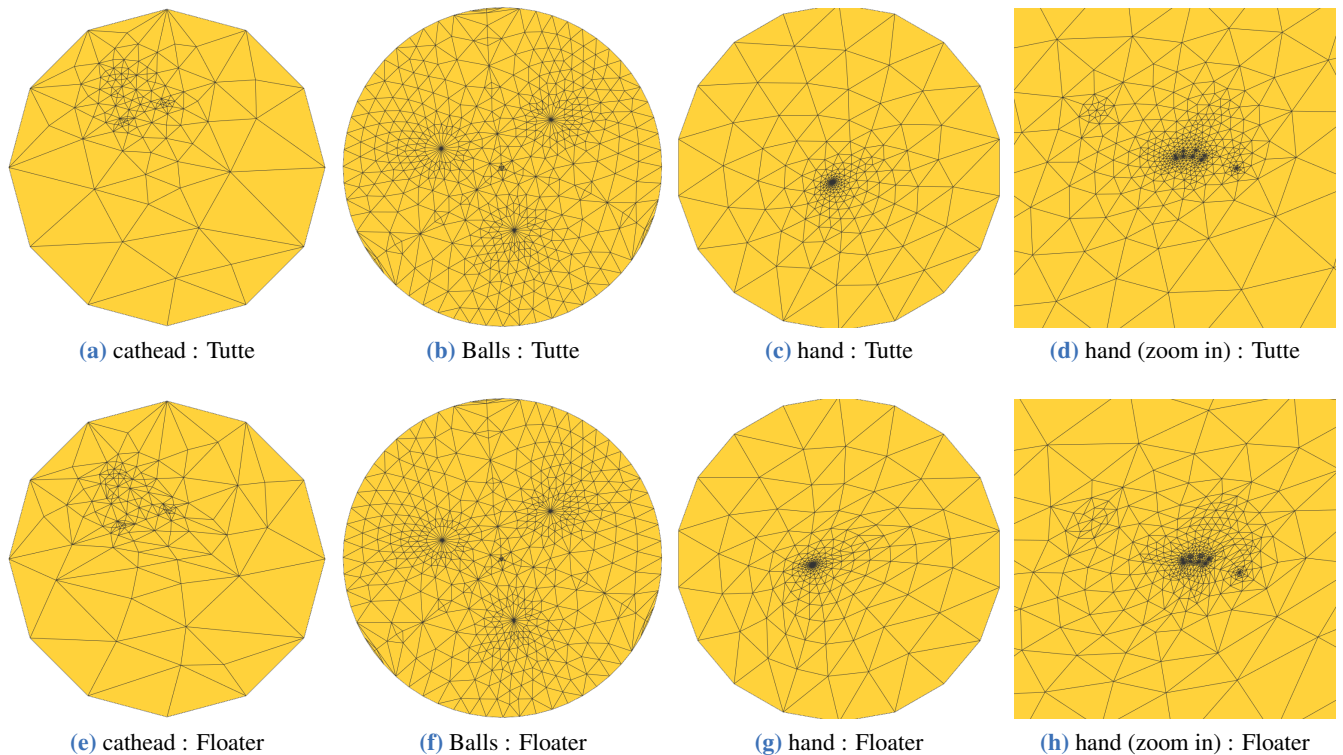


图 1.2: 测试数据渲染图 (边界形状: 正多边形)

此外，根据参数化结果可以看出，二维凸多边形的边界并未对参数化结果的拓扑结构造成显著影响，更多的是影响曲面参数和下一章节中纹理映射的结果。显然太过集中的顶点会导致纹理坐标被极

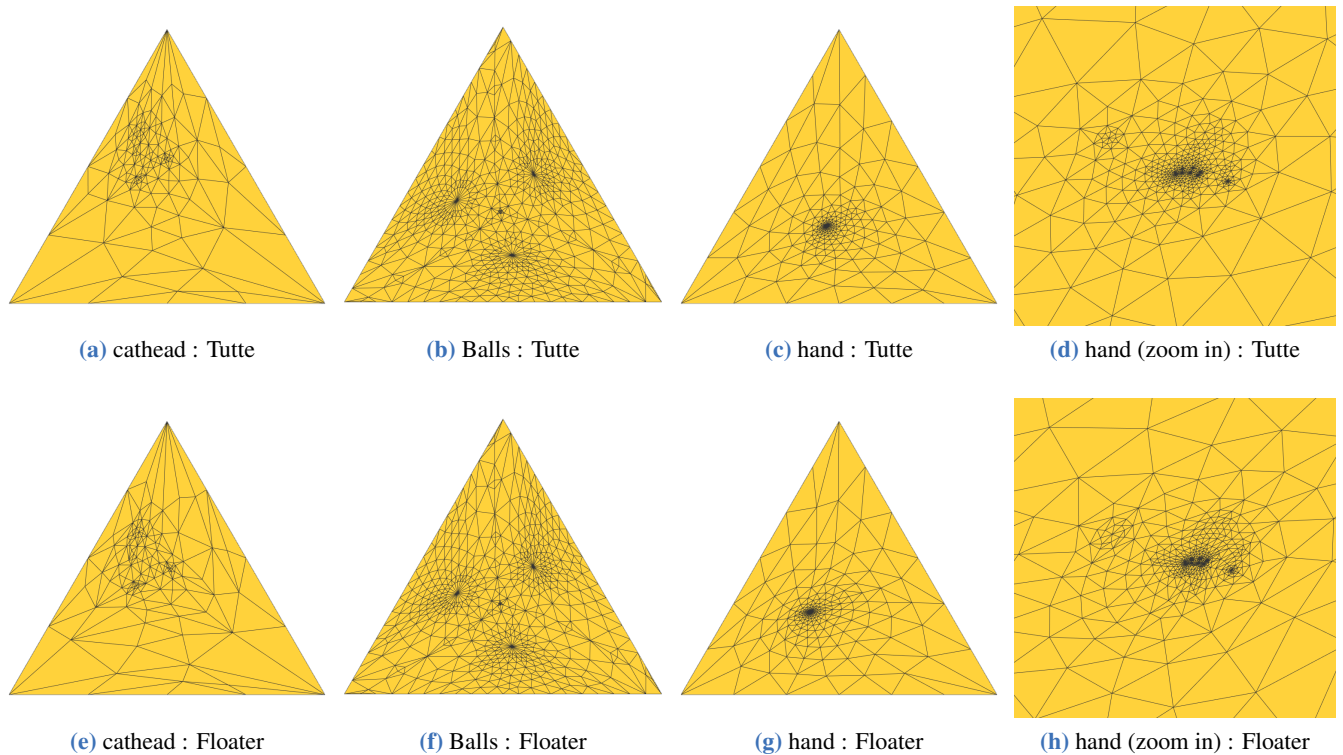


图 1.3: 测试数据渲染图 (边界形状: 正三角形)

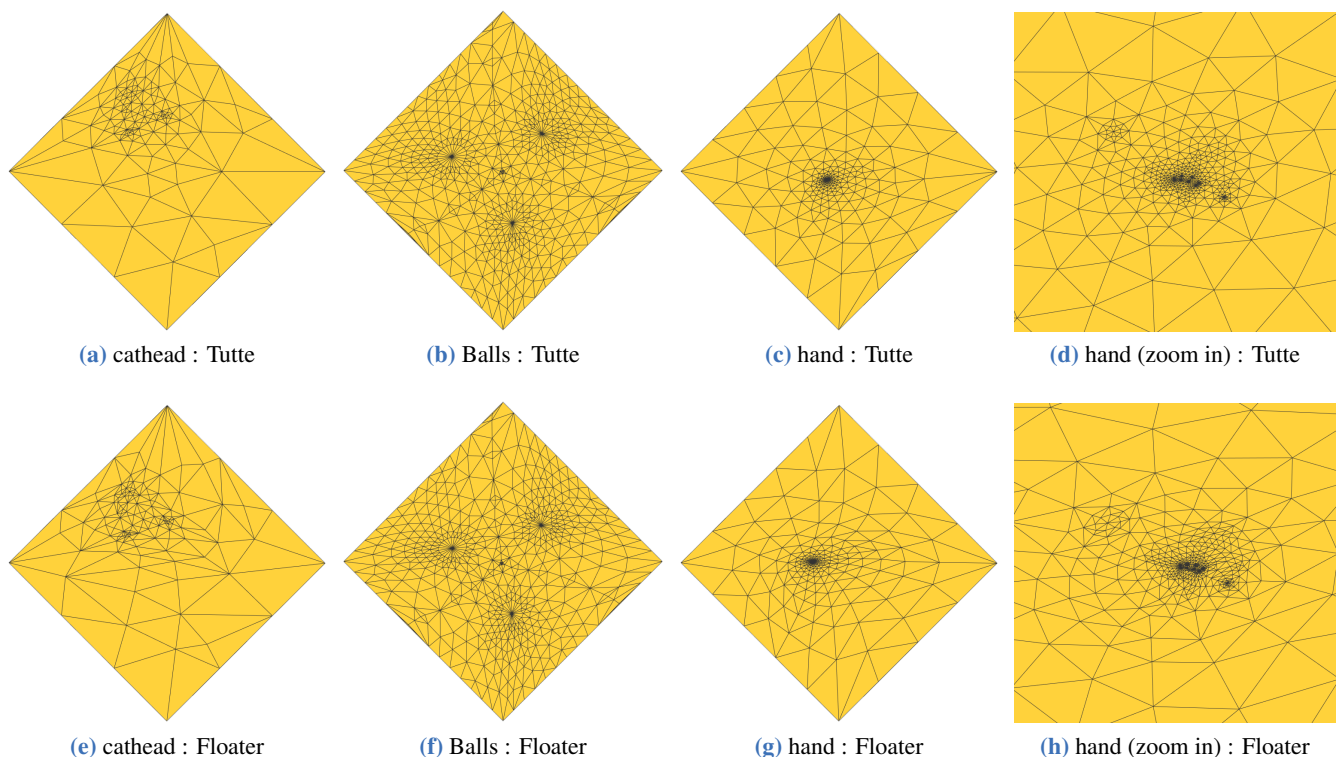


图 1.4: 测试数据渲染图 (边界形状: 正四边形)

大地扭曲，在下一节的纹理映射中可以观察到这种现象。

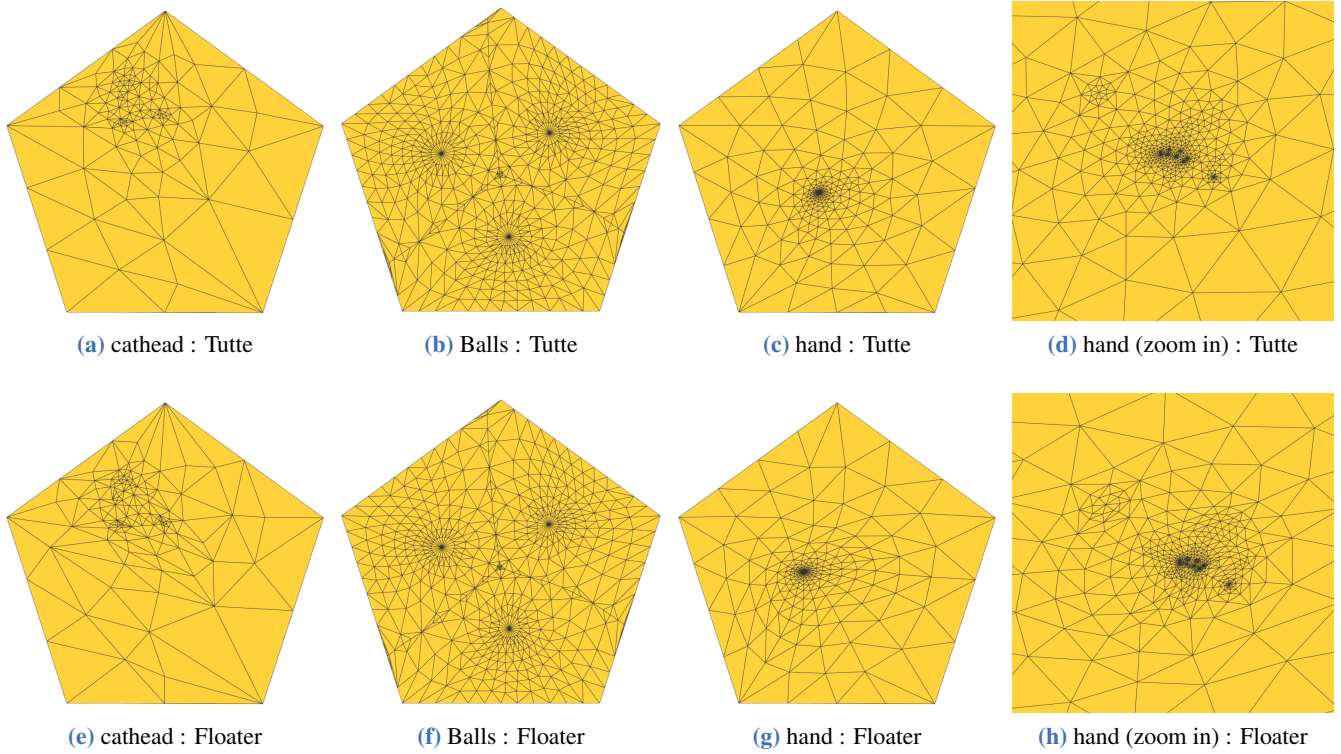


图 1.5: 测试数据渲染图 (边界形状: 正五边形)

#### 1.4.2 纹理映射

本文选取的参数化结果中范围是  $P_i \in [0, 1]^2$ , 以便于我们进行纹理映射。在此之前, 需要修改平直着色模式至平滑着色模式 (图 1.6)。此外, 我们采用两种 UV 映射贴图, 以凸显 Tutte 方法和 Floater 方法的不同。需要注意的是, 纹理贴图和几何模型的线框模型遮挡严重, 这里不放出参数化多边形的 UV 贴图及对应线框下的贴图效果。

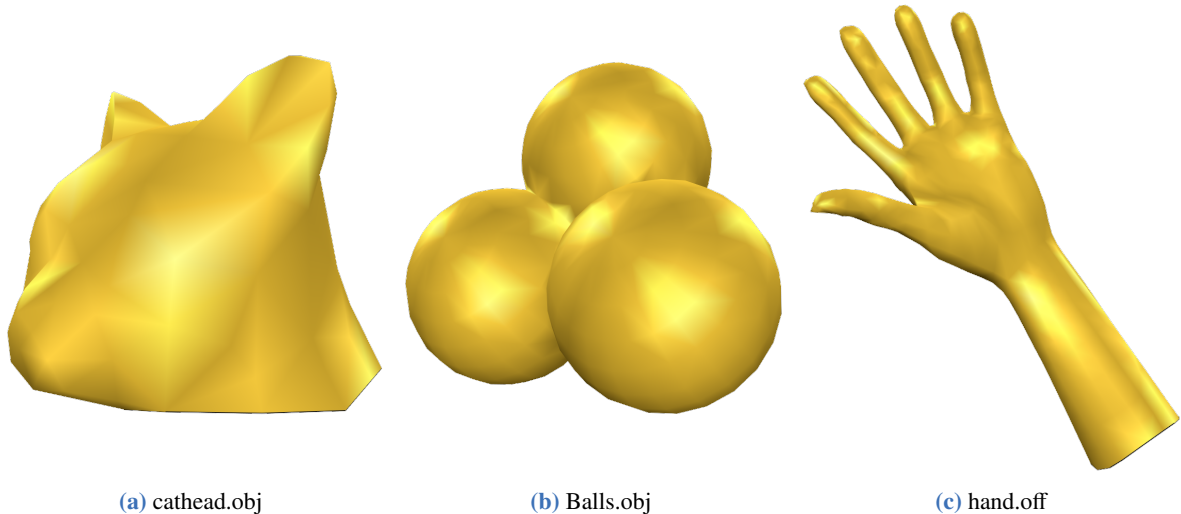


图 1.6: 测试数据渲染图 (平滑着色)

具体在两种实验贴图的效果如图 1.7 和图 1.8。可以看出, Tutte 的方法并不能保证贴图和模型表面的一致性, 会出现贴图毛刺、抖动等问题; 而 Floater 方法有效地避免了这些问题。

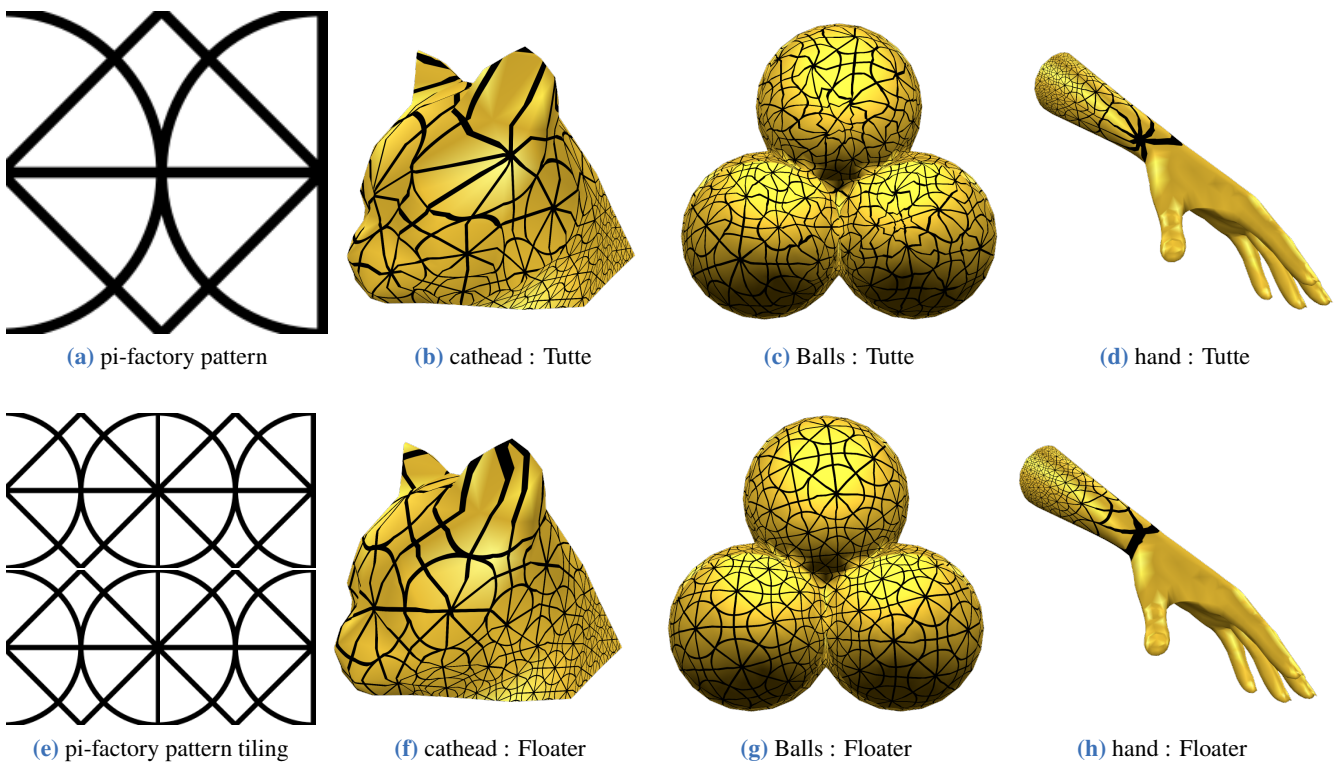


图 1.7: 测试数据纹理映射渲染图 (边界形状: 正多边形)

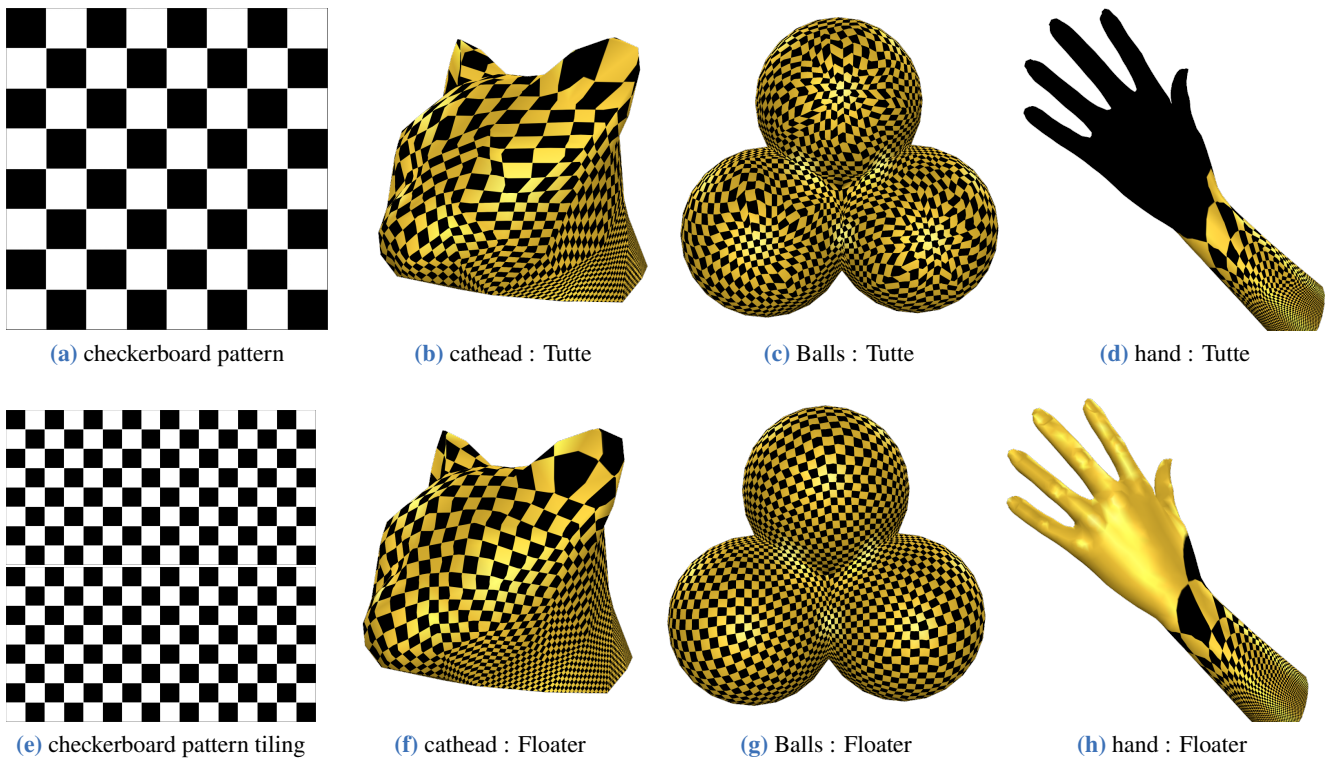


图 1.8: 测试数据纹理映射渲染图 (边界形状: 正多边形)

## 1.5 总结

Tutte's Embedding 方法提供了一个无翻转的曲面参数化结果。囿于自身的缺陷, 该方法生成的参数化结果不尽人意。此方法为我们提供了参数化的基本思路, 并为后续的参数化工作打下了坚实基础。

## 附录 A 代码修改说明

### A.1 对原有文件的修改

Listing A.1: surfacemeshprocessing.cpp

```
1 // ===== surfacemeshprocessing.h =====
2 // add QAction for smooth rendering
3 // ...
4 QAction *actSmooth;
5 // ...
6 // add QAction for parameterization
7 QAction *actParamAverage;
8 QAction *actParamFloater;
9 // ...
10
11 // ===== surfacemeshprocessing.cpp =====
12 void SurfaceMeshProcessing::CreateActions(void)
13 {
14     // ...
15     // smooth shading
16     actSmooth = new QAction(tr("Smooth"), this);
17     actSmooth->setIcon(QIcon(":/SurfaceMeshProcessing/Images/smooth.png"));
18     actSmooth->setStatusTip(tr("Show smooth"));
19     actSmooth->setCheckable(true);
20     connect(actSmooth, SIGNAL(triggered()), viewer, SLOT>ShowSmooth()));
21     // ...
22     agViewGroup->addAction(actSmooth);
23     // ...
24     // parameterization action
25     actParamAverage = new QAction("Average Weighted", this);
26     actParamAverage->setStatusTip(tr("Neighbors Weighted Averagely"));
27     connect(actParamAverage, SIGNAL(triggered()), viewer, SLOT>TutteParam_AverageWeight
28     ());
29
30     actParamFloater = new QAction("Floater Weighted", this);
31     actParamFloater->setStatusTip(tr("Neighbors Weighted Floaterly"));
32     connect(actParamFloater, SIGNAL(triggered()), viewer, SLOT>TutteParam_FlaterWeight
33     ());
34
35 void SurfaceMeshProcessing::CreateMenus(void)
36 {
37     // ...
38     QMenu* menuTools = menuBar()->addMenu(tr("&Tool"));
39     QMenu* tutteParam = menuTools->addMenu(tr("Tutte's Param"));
```

```

40     tutteParam->addAction(actParamAverage);
41     tutteParam->addAction(actParamFloater);
42     // ...
43 }
44
45 void SurfaceMeshProcessing::CreateToolBars(void)
46 {
47     // ...
48     tbView->addAction(actSmooth);
49     // ...
50 }
```

Listing A.2: MainViewerWidget

```

1 // ===== MainViewerWidget.h =====
2 class MainViewerWidget : public QDialog
3 {
4     // ...
5     // Tutte's parameterization API
6     void TutteParam_AverageWeight();
7     void TutteParam_FlaterWeight();
8     // ...
9 }
10
11 // ===== MainViewerWidget.cpp =====
12 void MainViewerWidget::TutteParam_AverageWeight()
13 {
14     meshviewerwidget->TutteParam(MeshViewerWidget::TutteParamType::AVERAGE_WEIGHTED);
15 }
16
17 void MainViewerWidget::TutteParam_FlaterWeight()
18 {
19     meshviewerwidget->TutteParam(MeshViewerWidget::TutteParamType::FLOATER_WEIGHTED);
20 }
```

Listing A.3: MeshViewerWidget

```

1 // ===== MeshViewerWidget.h =====
2 class MeshViewerWidget : public QGLViewerWidget
3 {
4     // ...
5     // parameterization enums
6     enum class TutteParamType { AVERAGE_WEIGHTED, FLOATER_WEIGHTED };
7     // parameterization functions
8     void TutteParam(TutteParamType type);
9     // ...
10    void DrawSmooth() const;
11    // ...
12    // Tutte embedding auxiliary function
```

```

13 std::vector<double> CalAdjcentWeight(acamcad::polymesh::MVert* v,
14   const std::vector<acamcad::polymesh::MVert*>& adjVerts,
15   MeshViewerWidget::TutteParamType type);
16 ...
17 }
18
19 // ===== MeshViewerWidget.cpp =====
20
21 // smooth shading mode
22 void MeshViewerWidget::DrawSmooth() const
23 {
24   glShadeModel(GL_SMOOTH);
25
26   glBindTexture(GL_TEXTURE_2D, glTextureID);
27   glEnable(GL_TEXTURE_2D);
28
29   glBegin(GL_TRIANGLES);
30
31   for (const auto& fh : polyMesh->polyfaces())
32   {
33     for (const auto& fvh : polyMesh->polygonVertices(fh))
34     {
35       glNormal3dv(fvh->normal().data());
36       auto uv = fvh->getTextureUVW().uv;
37       float uvScale = 10.0f;
38       glTexCoord2f(uv[0] * uvScale, uv[1] * uvScale);
39       glVertex3dv(fvh->position().data());
40     }
41   }
42
43   glEnd();
44 }
45
46 //===== my parameterization functions =====
47 std::vector<double> MeshViewerWidget::CalAdjcentWeight(acamcad::polymesh::MVert* v,
48   const std::vector<acamcad::polymesh::MVert*>& adjVerts,
49   MeshViewerWidget::TutteParamType type)
50 {
51   std::vector<double> weights;
52
53   switch (type)
54   {
55     case TutteParamType::AVERAGE_WEIGHTED:
56       tutte::AverageParam(v, adjVerts, weights);
57       break;
58     case TutteParamType::FLOATER_WEIGHTED:
59       tutte::FloaterParam(v, adjVerts, weights);
60       break;
61   }

```

```

62 return weights;
63 }
64
65 void MeshViewerWidget::TutteParam(TutteParamType type)
66 {
67     using mat = Eigen::MatrixXd;
68     using acamcad::polymesh::MVert;
69     std::cout << "Tutte's Parameterization\n";
70
71     if (polyMesh->numVertices() == 0)
72     {
73         std::cerr << "ERROR: TutteParam() No vertices!" << std::endl;
74         return;
75     }
76
77     /// ===== calculate boundary vertices =====
78     auto boundaryVertLists = polyMesh->boundaryVertices();
79     std::cout << "Boundary Points [" << boundaryVertLists.size() << "]\n";
80
81     // 1. prepare convex polygon
82     int M = boundaryVertLists.size();
83     int N = polyMesh->numVertices();
84
85     // TODO : Better to add a function to control the boundary polygon, or a slider?
86     auto boundaryUVs = tutte::GetBoundaryUVs(M, tutte::UVBoundaryType::POLYGON_CIRCLE);
87     //auto boundaryUVs = tutte::GetBoundaryUVs(M, tutte::UVBoundaryType::POLYGON_TRIANGLE
88     //);
89     //auto boundaryUVs = tutte::GetBoundaryUVs(M, tutte::UVBoundaryType::POLYGON_SQUARE);
90     //auto boundaryUVs = tutte::GetBoundaryUVs(M, tutte::UVBoundaryType::POLYGON_PENTAGON
91     //);
92
93     // 2. prepare matrix (Eigen::Dense)
94     mat A = mat::Zero(N, N);
95     mat x = mat::Zero(N, 2);
96     mat b = mat::Zero(N, 2);
97
98     // a) boundary vertices
99     for (int i = 0; i < M; ++i)
100    {
101        int vertID = boundaryVertLists[i]->index();
102
103        A(vertID, vertID) = 1.0;
104        b(vertID, 0) = boundaryUVs[i].x;
105        b(vertID, 1) = boundaryUVs[i].y;
106    }
107
108    // b) inner vertices
109    std::unordered_set<MVert*> boundaryVertsDict(boundaryVertLists.begin(),
110                                                 boundaryVertLists.end());

```

```

108
109     for (int i = 0; i < N; ++i)
110     {
111         auto pVert = polyMesh->vert(i);
112         if (boundaryVertsDict.count(pVert)) continue;
113
114         int vID = pVert->index();
115
116         auto adjVerts = polyMesh->vertAdjacentVertices(pVert);
117         auto weights = CalAdjectWeight(pVert, adjVerts, type);
118         double weightSUM = std::accumulate(weights.begin(), weights.end(), 0.0);
119         for (int j = 0; j < adjVerts.size(); ++j) {
120             auto adjID = adjVerts[j]->index();
121             A(vID, adjID) = weights[j];
122             A(vID, vID) = -weightSUM;
123         }
124     }
125
126     /// 3. solve the equation Ax = b
127     x = A.lu().solve(b);
128
129     std::cout << "Tutte's parameterization finished, updating mesh ... \n";
130
131     for (int i = 0; i < N; ++i)
132     {
133         auto pVert = polyMesh->vert(i);
134         auto vID = pVert->index();
135
136         // TODO : Better to add a function to set vertex position
137         //pVert->setPosition(x(vID, 0), x(vID, 1), 0.0);
138         pVert->setTexture(x(vID, 0), x(vID, 1));
139     }
140
141     std::cout << "Done\n";
142
143     UpdateMesh();
144     update();
145 }
```

Listing A.4: QGLViewerWidget

```

1 // ===== QGLViewerWidget.h =====
2 class QGLViewerWidget : public QOpenGLWidget
3 {
4     // ...
5     // load uv textures
6     void LoadTexture();
7 }
```

```

9 // ===== QGLViewerWidget.cpp =====
10 void QGLViewerWidget::LoadTexture()
11 {
12     glGenTextures(1, &glTextureID);
13     glBindTexture(GL_TEXTURE_2D, glTextureID);
14
15     // load and generate texture
16     int width, height, nChannels;
17     unsigned char* data = stbi_load("../src/Images/tiling patterns/R-C3.jpg", &width, &
18     height, &nChannels, 0);
19     //unsigned char* data = stbi_load("../src/Images/tiling patterns/circle.jpg", &
20     width, &height, &nChannels, 0);
21     //unsigned char* data = stbi_load("../src/Images/tiling patterns/pie-factory.png", &
22     width, &height, &nChannels, 0);
23     //unsigned char* data = stbi_load("../src/Images/tiling patterns/cross.jpg", &width
24     , &height, &nChannels, 0);
25
26     GLint internalFormat = GL_RGBA;
27     if (nChannels == 1) internalFormat = GL_RED;
28     if (nChannels == 2) internalFormat = GL_RG;
29     if (nChannels == 3) internalFormat = GL_RGB;
30     if (nChannels == 4) internalFormat = GL_RGBA;
31
32     if (data)    glTexImage2D(GL_TEXTURE_2D, 0, internalFormat, width, height, 0,
33     internalFormat, GL_UNSIGNED_BYTE, data);
34     else
35     {
36         std::cout << "Failed to load texture" << std::endl;
37         assert(false);
38     }
39
40     glTexParameteri(GL_TEXTURE_2D, GL_TEXTURE_WRAP_S, GL_REPEAT);
41     glTexParameteri(GL_TEXTURE_2D, GL_TEXTURE_WRAP_T, GL_REPEAT);
42     glTexParameteri(GL_TEXTURE_2D, GL_TEXTURE_MIN_FILTER, GL_LINEAR);
43     glTexParameteri(GL_TEXTURE_2D, GL_TEXTURE_MAG_FILTER, GL_LINEAR);
44     glTexEnvf(GL_TEXTURE_ENV, GL_TEXTURE_ENV_MODE, GL_MODULATE);
45     glHint(GL_PERSPECTIVE_CORRECTION_HINT, GL_NICEST);
46
47     stbi_image_free(data);
48 }

```

## A.2 新增文件

文件 `stb_image.h` 和 `sub_image.cpp`, 用于加载图像。

文件 `Util_TutteEmbedding.h` 和 `Util_TutteEmbedding.cpp`, (代码A.5), 用于存放相关代码。

图片 用于添加纹理映射:

- (a) src/Images/circle.jpg
- (b) src/Images/cross.jpg
- (c) src/Images/pie-factory.png
- (d) src/Images/pie-factory\_s.png
- (e) src/Images/pie-factory\_t.png
- (f) src/Images/R-C.jpg
- (g) src/Images/R-C3.jpg

**Listing A.5:** Util\_TutteEmbedding

```

1 // ===== Util_TutteEmbedding.h =====
2 #include <vector>
3 #include <glm\glm.hpp>
4
5 #include " ../PolyMesh/include/PolyMesh/PolyMesh.h"
6
7 namespace tutte
8 {
9     enum class UVBoundaryType {
10         POLYGON_CIRCLE,
11         POLYGON_TRIANGLE,
12         POLYGON_SQUARE,
13         POLYGON_PENTAGON,
14         // TODO : uncomment this to implement more complex boundaries, for later
15         // experiments
16         // POLYGON_STAR,
17         // POLYGON_CROSS
18     };
19
20     std::vector<glm::dvec2> GetBoundaryUVs(size_t numVerts, UVBoundaryType type);
21
22     bool IsInTriangle(glm::dvec2 P1, glm::dvec2 P2, glm::dvec2 P3);
23
24     auto FloaterParam_I_a(acamcad::polymesh::MVert* v,
25         const std::vector<acamcad::polymesh::MVert*>& adjVerts);
26     auto FloaterParam_I_b(double thetaSum, const std::vector<glm::dvec2>&
27         neighborAngleInfo);
28     auto FloaterParam_II(const std::vector<glm::dvec2>& adjUVs);
29
30     void AverageParam(acamcad::polymesh::MVert* v,
31         const std::vector<acamcad::polymesh::MVert*>& adjVerts,
32         std::vector<double>& weights);
33
34     void FloaterParam(acamcad::polymesh::MVert* v,
35         const std::vector<acamcad::polymesh::MVert*>& adjVerts,
36         std::vector<double>& weights);
37 }
38

```

```

37 // ===== Util_TutteEmbedding.cpp =====
38 #include "Util_TutteEmbedding.h"
39
40 #include <algorithm>
41 #include <numeric>
42
43 #include <Eigen3\Eigen>
44
45 namespace tutte
46 {
47     std::vector<glm::dvec2> GetBoundaryUVs(size_t numVerts, UVBoundaryType type)
48     {
49         const double CIRCLE_RADIUS = 0.5;
50         std::vector<glm::dvec2> boundaryUVs(numVerts, { CIRCLE_RADIUS, CIRCLE_RADIUS });
51
52         // 1. polygon edges
53         size_t polygonEdges = 3;
54         switch (type)
55         {
56             case UVBoundaryType::POLYGON_CIRCLE: polygonEdges = numVerts; break;
57             case UVBoundaryType::POLYGON_TRIANGLE: polygonEdges = 3; break;
58             case UVBoundaryType::POLYGON_SQUARE: polygonEdges = 4; break;
59             case UVBoundaryType::POLYGON_PENTAGON: polygonEdges = 5; break;
60         }
61
62         polygonEdges = std::min(polygonEdges, numVerts);
63
64         // 2. initialization
65         std::vector<int> polygonEdgePoints(polygonEdges, 0);
66         {
67             int V = numVerts;
68             int i = 0;
69             while (V-- > 0)
70             {
71                 polygonEdgePoints[i]++;
72                 i = (i + 1) % polygonEdges;
73             }
74         }
75         assert(std::accumulate(polygonEdgePoints.begin(), polygonEdgePoints.end(), 0) == numVerts);
76
77         double angleGap = 2.0 * M_PI / static_cast<double>(polygonEdges);
78         double edgeLength = 2.0 * CIRCLE_RADIUS * glm::sin(angleGap / 2.0);
79
80         // rotate matrix
81         glm::dmat2x2 polygonRotateMat = glm::dmat2({ 0, 1 }, { -1, 0 });
82
83         // 3. calculation
84         auto boundaryUVIter = boundaryUVs.begin();

```

```

85     for (size_t edgeIdx = 0; edgeIdx < polygonEdges; ++edgeIdx)
86     {
87         glm::dvec2 basePoint = CIRCLE_RADIUS * glm::dvec2{ glm::cos(edgeIdx * angleGap),
88             glm::sin(edgeIdx * angleGap) };
89         glm::dvec2 edgeDirection = CIRCLE_RADIUS * glm::dvec2(glm::cos(((edgeIdx + 1) %
90             polygonEdges) * angleGap),
91             glm::sin(((edgeIdx + 1) % polygonEdges) * angleGap)) - basePoint;
92
93         int edgePoints = polygonEdgePoints[edgeIdx];
94         double edgeDisDelta = edgeLength / static_cast<double>(edgePoints);
95
96         int i = 0;
97         while (i++ < edgePoints) {
98             glm::dvec2 pointUV = basePoint + (i / static_cast<double>(edgePoints)) *
99             edgeDirection;
100            *boundaryUVIter += (polygonRotateMat * pointUV);
101            boundaryUVIter++;
102        }
103    }
104
105    return boundaryUVs;
106}
107
108 auto FloaterParam_I_a(acamcad::polymesh::MVert* v,
109 const std::vector<acamcad::polymesh::MVert*>& adjVerts)
110 {
111     double thetaI{ 0.0 };
112     int N = adjVerts.size();
113
114     std::vector<glm::dvec2> disANDangles(N, { 0.0, 0.0 });
115
116     for (int i = 0; i < N; ++i)
117     {
118         int j = (i + 1) % N;
119         auto vecI = adjVerts[i]->position() - v->position();
120         auto vecJ = adjVerts[j]->position() - v->position();
121
122         glm::dvec3 vi(vecI.x(), vecI.y(), vecI.z());
123         glm::dvec3 vj(vecJ.x(), vecJ.y(), vecJ.z());
124
125         double di = glm::sqrt(glm::dot(vi, vi));
126         double dj = glm::sqrt(glm::dot(vj, vj));
127
128         disANDangles[i].x = di;
129         disANDangles[i].y = glm::acos(glm::dot(vi, vj) / (di * dj));
130         thetaI += disANDangles[i].y;
131     }
132     assert(thetaI > 0);
133     return std::make_tuple(thetaI, disANDangles);
134 }
```

```

131 }
132
133 auto FloaterParam_I_b(double thetaSum, const std::vector<glm::dvec2>&
134   neighborAngleInfo)
135 {
136   int N = neighborAngleInfo.size();
137
138   std::vector<glm::dvec2> adjUVs(N, { 0.0, 0.0 });
139   adjUVs[0] = { neighborAngleInfo[0].x, 0.0 };
140
141   for (int j = 1; j < N; ++j)
142   {
143     // 1. rotate factor
144     double thetaI = neighborAngleInfo[j - 1].y * (2.0 * M_PI / thetaSum);
145     double cosThetaI = glm::cos(thetaI);
146     double sinThetaI = glm::sin(thetaI);
147     glm::dmat2x2 rotateMat2({ cosThetaI, sinThetaI }, { -sinThetaI, cosThetaI });
148
149     // 2. scale factor
150     double scale = neighborAngleInfo[j].x / neighborAngleInfo[j - 1].x;
151     glm::dmat2x2 scaleMat2({ scale, 0.0 }, { 0.0, scale });
152
153     adjUVs[j] = scaleMat2 * rotateMat2 * adjUVs[j - 1];
154   }
155
156   return adjUVs;
157 }
158
159 // If triangle P1P2P3 centering the original point (0, 0)
160 bool IsInTriangle(glm::dvec2 P1, glm::dvec2 P2, glm::dvec2 P3)
161 {
162   double t1 = P1.x * P2.y - P1.y * P2.x;
163   double t2 = P2.x * P3.y - P2.y * P3.x;
164   double t3 = P3.x * P1.y - P3.y * P1.x;
165
166   return t1 * t2 >= 0 && t1 * t3 >= 0 && t2 * t3 >= 0;
167 }
168
169 auto FloaterParam_II(const std::vector<glm::dvec2>& adjUVs)
170 {
171   int N = adjUVs.size();
172   std::vector<double> mu_ls(N, 0.0);
173
174   for (int i = 0; i < N; ++i) {
175
176     auto Pl = adjUVs.begin() + i;
177
178     auto Pr = adjUVs.begin() + (i + 1) % N;
179     auto Pn = adjUVs.begin() + (i + 2) % N;

```

```

179
180     auto IterAscend = [&]() {
181         Pr++;
182         Pn++;
183         if (Pr == adjUVs.end()) Pr = adjUVs.begin();
184         if (Pn == adjUVs.end()) Pn = adjUVs.begin();
185     };
186
187     while (Pn != Pl)
188     {
189         if (!Is0inTriangle(*Pl, *Pr, *Pn))
190         {
191             IterAscend();
192             continue;
193         };
194
195         Eigen::Matrix3d A;
196         A(0, 0) = Pl->x;
197         A(1, 0) = Pl->y;
198         A(2, 0) = 1.0;
199         A(0, 1) = Pr->x;
200         A(1, 1) = Pr->y;
201         A(2, 1) = 1.0;
202         A(0, 2) = Pn->x;
203         A(1, 2) = Pn->y;
204         A(2, 2) = 1.0;
205         Eigen::Vector3d b(0.0, 0.0, 1.0);
206
207         auto x = A.lu().solve(b);
208
209         mu_ls[Pl - adjUVs.begin()] += x(0);
210         mu_ls[Pr - adjUVs.begin()] += x(1);
211         mu_ls[Pn - adjUVs.begin()] += x(2);
212         mu_ls[i] += x(0, 0);
213
214         assert(!std::isnan(x(0) * x(1) * x(2)));
215
216         IterAscend();
217     }
218 }
219
220 std::for_each(mu_ls.begin(), mu_ls.end(), [N](double& v) { return v / static_cast<
221 double>(N); });
222 return mu_ls;
223
224 void AverageParam(acamcad::polymesh::MVert* v,
225 const std::vector<acamcad::polymesh::MVert*>& adjVerts,
226 std::vector<double>& weights)

```

```

227 {
228     weights.clear();
229     weights.resize(adjVerts.size(), 1.0);
230 }
231
232 void FloaterParam(acamcad::polymesh::MVert* v,
233     const std::vector<acamcad::polymesh::MVert*>& adjVerts,
234     std::vector<double>& weights)
235 {
236     int N = adjVerts.size();
237     weights.clear();
238
239     // Stage 1 : Initialize (u, v) list
240     // a) thetaI
241     auto [thetaI, disANDangles] = FloaterParam_I_a(v, adjVerts);
242
243     // b) UVs
244     auto UVs = FloaterParam_I_b(thetaI, disANDangles);
245
246     // Stage 2 : Calculate lambda_[i, jk]
247     weights = FloaterParam_II(UVs);
248 }
249 }
```

## A.3 错误更正

感谢 QQ 群的小伙伴们为我找出实现方法和代码中的错误，在此罗列对报告内容和代码的修改：

**错误更正** 更正了算法 2 中第 3 行计算  $s_{k+1}$  的错误，更正之前为

$$s_{k+1} = \|P_i - P\| \cdot \frac{\|\mathbf{x}_{j_{k+1}} - \mathbf{x}_i\|}{\|\mathbf{x}_{j_k} - \mathbf{x}_i\|}.$$

在此感谢 **forty-twoo** (QQ 1013417276) 和 **is 度假版** (QQ 1353321741) 两位同学指出的错误。

**错误更正** 根据修改后的算法 2 更正了代码，删除了冗余行（请查看代码 A.5）

```
double dp = scale * glm::sqrt(glm::dot(adjUVs[j - 1] - P, adjUVs[j - 1] - P));
```

在此感谢 **forty-twoo** (QQ 1013417276) 同学指出代码中的错误。

**方法改进** 算法 2 中关于  $P_i$  的计算存在累计误差，但在当前小规模简单模型的测试算例下尚未出现问题。解决方案是计算旋转角度的前缀和，从而消除累计误差。此方法将应用在后续的改进当中。在此感谢 **古明地绿** (QQ 746530916) 同学提出的改进策略。

**目录结构** 目录结构进行了修改，添加了文件夹 Surface\_Framework\_Cmake/src/homeworks/TutteEmbedding/。

**代码结构** 代码结构进行了修改，将所有与 Tutte Embedding 相关的辅助函数转移到 Surface\_Framework\_Cmake/src/homeworks/TutteEmbedding 文件夹下的 Util\_TutteEmbedding.h 和 Util\_TutteEmbedding.cpp 文件中。

## Bibliography

- [1] William Thomas Tutte. “Convex representations of graphs”. In: *Proceedings of the London Mathematical Society* 3.1 (1960), pp. 304–320.
- [2] William Thomas Tutte. “How to draw a graph”. In: *Proceedings of the London Mathematical Society* 3.1 (1963), pp. 743–767.
- [3] Michael S Floater. “Parametrization and smooth approximation of surface triangulations”. In: *Computer aided geometric design* 14.3 (1997), pp. 231–250.
- [4] Wai-Kai Chen. *Applied graph theory*. Vol. 13. Elsevier, 2012.